

# 超音速擴壓器 設計問題

寧 楓、黃熙君編著



國防工業出版社

# 超音速扩压器設計問題

宁 楠、黃熙君編著



國防工業出版社

1964

## 內容簡介

本书是专题性质的设计参考书。全书较系统地介绍了不可调节式超音速扩压器的设计理论及计算方法。本书虽以冲压式喷气发动机为主要对象，但亦适用于涡轮喷气发动机的超音速进气道设计。本书可供高等航空工业院校发动机专业高年级学生，科研技术人员和设计员参考。

### 超音速扩压器设计問題

宁 楠、黄熙君编著

国防工业出版社 出版

北京市书刊出版业营业登记证字第 074 号

国防工业出版社印刷厂印刷 新华书店北京发行所发行

787×1092 1/32 印张 25/16 45 千字

1954年1月第一版 1964年1月第一次印刷 印数：0,001—1,550 册

统一书号：15034·711 定价：(11·6) 0.45 元

## 前　　言

不可調節式超音速扩压器設計，是一個根據冲壓式噴氣机的飛行任務，全面地權衡利弊，統一矛盾的問題。設計時，必須將理論分析、模型實驗及經驗判斷結合起來。目前，從設計觀點出發，綜合敘述超音速扩压器的文獻還不多。本書整理了編著者在教學及科研工作中积累的一些心得体会，例如：

倒拉瓦爾管扩压器的減速增壓過程；

選擇扩压器設計點；

選配分段楔角；

選配混合式扩压器波系；

統一扩压器內部增壓及外阻矛盾的設計原則；

根據附面層分離點前后升壓比檢查反射波系；

統一扩压器喘振現象的不同解釋。

除了筆者自己的心得体会外，本文還綜合了一些分析扩压器問題的文獻。所提方法及解釋，可能有不妥之處，請同志們指教。

編著者 一九六三年七月于北京

## 目 录

|                      |    |
|----------------------|----|
| 前言.....              | 3  |
| 主要符号.....            | 5  |
| I. 推力及阻力系数.....      | 7  |
| II. 倒拉瓦尔管减速增压过程..... | 12 |
| III. 超音速扩压器类型.....   | 23 |
| IV. 扩压器设计应考虑的问题..... | 26 |
| V. 冲波与附面层互相干扰.....   | 58 |
| VI. 喘振现象的理论解释.....   | 63 |
| VII. 扩压器设计发展趋势.....  | 70 |
| 参考文献.....            | 71 |

## 主要符号

- $A$ ——截面积 米<sup>2</sup>  
 $C_p$ ——升压系数  
 $C_s$ ——波阻系数  
 $C_f$ ——摩阻系数  
 $C_A$ ——附加阻力系数  
 $C_e$ ——外皮阻力系数  
 $C_x$ ——飞行器折合总阻力系数  
 $C_R$ ——额定推力系数  
 $C_n$ ——纯净推力系数  
 $F$ ——富余冲量  $mw + A(p - p_a)$  公斤  
 $f$ ——油气比  $\frac{1}{\alpha L_0}$   
 $G$ ——单位时间内流量 公斤/秒  
 $L_0$ ——空气与燃油理论混合比  
 $L$ ——长度 米  
 $M$ ——马赫数  
 $m$ ——质量 公斤秒<sup>2</sup>/米  
 $\dot{m}$ ——质量流率 公斤秒/米  
 $P$ ——气流总压 公斤/厘米<sup>2</sup>  
 $p$ ——气流静压 公斤/厘米<sup>2</sup>  
 $q = \frac{1}{2} \rho w^2, \quad \frac{k}{2} p M^2$  公斤/厘米<sup>2</sup>  
 $R$ ——推力 公斤  
 $r$ ——半径 米  
 $r_A$ ——内压式扩压器截面积实际收缩比  
 $r_i$ ——拉瓦尔管理想收缩比

- $T$ ——气流总温 °絕對  
 $T$ ——气流静温 °絕對  
 $u$ ——气流分速 米/秒  
 $v$ ——气流分速 米/秒  
 $w$ ——气流速度 米/秒  
 $X$ ——阻力 公斤  
 $\alpha$ ——余气系数  
 $\beta$ ——斜波波角 度  
 $\delta$ ——波前后气流折角、半楔角 度  
 $\theta_L$ ——扩压器前缘进气角 度  
 $\theta_c$ ——半锥角 度  
 $\theta_s$ ——锥波角 度  
 $K$ ——系数  
 $k$ ——气体绝热指数, 对于空气:  $k=1.4$ , 对于燃气  $k \approx 1.33$ 。  
 $\lambda$ ——气流速度系数  
 $\mu$ ——气流马赫角 度  
 $\rho$ ——质量密度 公斤秒<sup>-1</sup>/米<sup>4</sup>  
 $\sigma$ ——总压恢复系数  
 $\phi$ ——流量系数  
 $M_C$ ——贴锥面气流马赫数  
 $G_B$ ——进气量 公斤/秒

#### 注 脚

- $H$ ——迎面气流  
 $1$ ——发动机进口截面  
 $2$ ——扩压器出口截面  
 $3$ ——冲压发动机掺合段出口截面  
 $4$ ——冲压发动机燃烧室出口截面  
 $5$ ——发动机出口截面  
 $i$ ——内流  
 $e$ ——外流

右上角有“\*”号者为喉道处或临界参数

## I. 推力及阻力系数

超音速冲压喷气机的基本工作原理是：把超音速迎面气流的动能轉变成势能减速增压，燃燒加热；再膨胀喷气。从喷射气流得到反作用推力（图 1.1）。

由于定义不同，推力也就不同：

1) 額定推力  $R_H$  = 噴口富余冲量  $F_5$  减去迎面流管富余冲量  $F_H$ ：

$$R_H = F_5 - F_H = [\dot{m}_5 w_5 + A_5(p_5 - p_H)] - \dot{m}_H w_H. \quad (1.1)$$

2) 有效推力  $R_e$  = 噴口富余冲量  $F_5$  减去进口富余冲量  $F_1$ ：

$$R_e = F_5 - F_1 = [\dot{m}_5 w_5 + A_5(p_5 - p_H)] - [\dot{m}_1 w_1 + A_1(p_1 - p_H)]. \quad (1.2)$$

3) 純淨推力  $R_n$  = 噴气机内外表面所受压力的合力沿軸綫的分力；即实际傳給飞行器的有用推力：

$$\begin{aligned} R_n &= \int (p_i - p_H) dA - \int (p_e - p_H) dA = \\ &= R_H - X_d - X_e. \end{aligned} \quad (1.3)$$

4) 額定与有效推力之差，叫附加阻力  $X_d$ ：

$$\begin{aligned} X_d &= R_H - R_e = F_1 - F_H = \\ &= \dot{m}_1 w_1 - \dot{m}_H w_H + A_1(p_1 - p_H). \end{aligned} \quad (1.4)$$

若迎面流管截面等于冲压喷气机进口截面，即  $A_H = A_1$ ，

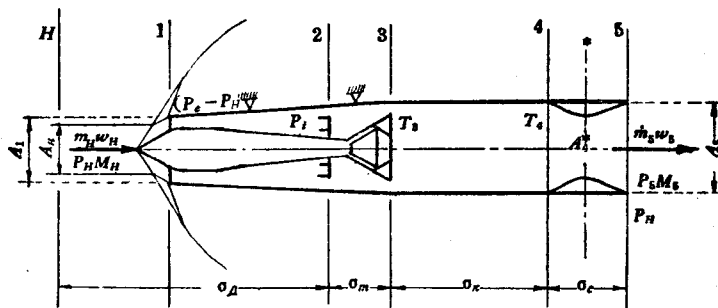


图 1.1 超音速冲压喷气机示意图。

則这个截面上的富余冲量相等,  $F_1 = F_H$ ; 于是附加阻力  $X_{\Delta} = 0$ , 因而  $w_1 = w_H$ ,  $p_1 = p_H$ 。

5) 通过  $A_H$  与通过  $A_B = A_1$  的质量流率之比, 叫 流量系数  $\phi$ :

$$\phi = \frac{\rho_H w_H A_H}{\rho_H w_H A_1} = \frac{A_H}{A_1} \leqslant 1. \quad (1.5)$$

6) 有效与纯净推力之差, 叫外皮阻力  $X_s$ :

$$X_s = R_e - R_n = R_H - X_{\Delta} - R_n = X_s + X_f. \quad (1.6)$$

7) 外皮阻力  $X_s$  等于波阻  $X_s$  及摩阻  $X_f$  两种阻力之和。波阻  $X_s$  是因为进口前缘冲波后的升压 ( $p_e - p_H$ ), 作用在垂直于轴线的环形投影面积 ( $A_2 - A_1$ ) 上而产生的。波后升压 ( $p_e - p_H$ ) 沿外皮斜坡表面有一定分布规律:

$$X_s = \int_1^2 (p_e - p_H) dA = C_p q_H (A_2 - A_1) = C_s q_H A_2. \quad (1.7)$$

波阻  $X_s$  的大小决定于飞行  $M_H$  数, 前缘坡度及斜坡面积的大小; 即决定于扩压器的形状和尺寸。

設波后升压沿斜坡表面取平均值  $\bar{\Delta p} = (\bar{p}_e - p_H)$ , 則升压系数  $C_p = \frac{\bar{\Delta p}}{q_H}$ 。如已知冲波前气流参数及斜坡形状, 可以按特性綫网格法求出斜坡上压强  $p_e$  的分布規律, 用积分法确定升压平均值  $\bar{\Delta p}$ , 便可求出波阻  $X_s$ 。

摩阻  $X_f = C_f q S_e$ 。摩阻系数  $C_f$  是外皮周围气流雷諾数  $R$  的函数;  $q$  是外皮周围气流的动压;  $S_e$  = 外皮面积。雷諾数  $R$  大于  $10^6$  以上时, 摩阻系数較小:  $C_f \leq 0.005$ 。

可以說, 冲压噴气机外皮阻力  $X_o$  主要是波阻  $X_s$ 。

用計算方法求外皮阻力  $X_o$  时, 不容易准确。按飞行器具体結構做縮尺模型, 在超音速風洞中吹風試驗, 可以測定外皮阻力系数  $C_{eo}$ 。

8) 推力系数: 为与飞行器的总阻力系数  $C_x = f(M)$  对照比較, 冲压噴气机的額定推力可以写成:

$$R_H = [\dot{m}_5 w_5 + A_5 p_5] - [\dot{m}_H w_H + A_H p_H] = C_R q_H A_5$$

式中  $\dot{m}_H = \phi \rho_H w_H A_1$  —— 实际进入冲压噴气机的空气质量流率;

$\dot{m}_5 = \rho_5 w_5 A_5 = (1+f) \dot{m}_H$  —— 噴出燃气的质量流率;

$$f = \frac{1}{\alpha L_0}$$
 —— 油气混合比;

$\alpha$  —— 余气系数; 煤油的理論空气需要量  $L_0 \approx 14.8$ 。

$\dot{m}_5 w_5 = p_5 A_5 k_5 M_5^2$ ;  $k_5 \approx 1.33$  —— 燃气絕热指数。

$\dot{m}_H w_H = p_H A_1 \phi k M_H^2$ ;  $k$  —— 空气的絕热指数(取  $k=1.4$ )。

于是:

$$R_H = C_R q_H A_5 = p_5 A_5 (k_5 M_5^2 + 1) - (p_H A_1 \phi k M_H^2 + p_H A_5)$$

額定推力系数[2]:

$$C_R = \frac{2}{kM_H^2} \left[ \frac{p_5}{p_H} (k_5 M_5^2 + 1) - 1 \right] - \frac{2\phi A_1}{A_5} \quad (1.8)$$

9) 总压系数  $\sigma$ : 超音速气流经过冲波进入冲压喷气机, 燃烧加热再喷出去; 沿气流通道各段都有总压损失  $\Delta P$ 。故各段出口总压低于进口总压。出入口总压之比叫做总压系数  $\sigma_i$ 。各段注脚如图 1.1 所示。可以用  $\sigma_i$  表示各段气动热力过程的熵增量:  $\Delta S_i = -AR \ln \sigma_i$ 。

整个发动机的总压系数

$$\sigma = \frac{P_5}{P_H} = \frac{P_2}{P_H} \frac{P_3}{P_2} \frac{P_4}{P_3} \frac{P_5}{P_4} = \sigma_A \sigma_m \sigma_k \sigma_e \quad (1.9)$$

总静压之比是气流  $M$  数的函数  $\pi(M)$ :

$$\frac{p_5}{p_H} = \frac{p_5}{p_5} \frac{P_H}{p_H} \frac{P_5}{P_H} = \sigma \frac{(1 + 0.2M_H^2)^{3.5}}{\left(1 + \frac{k_5 - 1}{2} M_5^2\right)^{\frac{k_5}{k_5 - 1}}} = \frac{\sigma \pi(M_H)}{\pi(M_5)} \quad (1.10)$$

将式(1.10)代入(1.8), 可得额定推力系数的另一表达式:

$$C_R = \frac{2}{kM_H^2} \left[ \frac{\sigma \pi(M_H)}{\pi(M_5)} (k_5 M_5^2 + 1) - 1 \right] - \frac{2\phi A_1}{A_5} \quad (1.11)$$

冲压喷气机的掺合段、燃烧室及尾喷管的总压系数  $\sigma_m$ 、 $\sigma_k$  和  $\sigma_e$  的合理数值, 均在 0.95 以上。故整个发动机的总压系数  $\sigma$  主要取决于扩压器的总压系数  $\sigma_A$ 。提高  $\sigma_A$  即可提高  $\sigma$ ; 由式(1.11)看出, 因此肯定可以提高推力系数  $C_R$ 。

按纯净推力公式(1.3)可以写出纯净推力系数  $C_n$ :

$$C_n = C_R - \frac{X_A}{q_H A_5} - \frac{X_e}{q_H A_5} = C_R - C_A - C_e = f(M) \quad (1.12)$$

式中  $C_A$  ——附加阻力系数; 决定于流量系数  $\phi$ ;  $\phi=1$  时,  $C_A=0$ 。

$C_e$ ——外皮阻力系数; 主要由进口前緣波后升压系数  
 $C_p$  或波阻系数  $C_s$  决定。

在要求的飞行  $M$  数范围, 当然必须满足  $C_n \geq C_x$  (图1.2)。

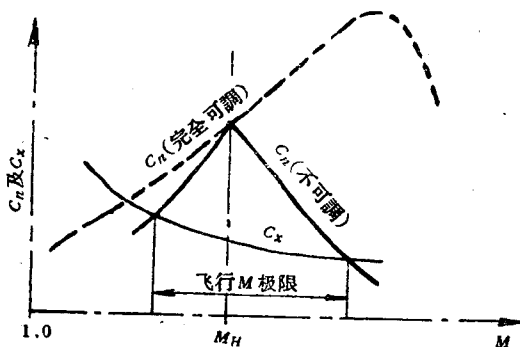


图 1.2  $C_n, C_x$  随  $M$  的变化曲线。

$C_x$  叫飞行器的折合总阻力系数。有翼飞行器的总阻力 (喷气推进机的阻力除外)  $D = C_D q_H S$ 。通常,  $S$  是机翼面积。纯净推力系数  $C_n$  是以面积  $A_5$  为基准而计算的。故  $C_D$  必须折合到同样基准面积, 得出  $C_x$  才能与  $C_n$  比较。即

$$S_5 C_x = C_D S_0$$

迎面气流的  $M_H, P_H$ 、扩压器的尺寸、形状和出口总压  $P_2$  的高低, 这些因素配合起来, 就决定了:

$$\text{流量系数 } \phi = \frac{A_H}{A_1}$$

$$\text{总压系数 } \sigma_D = \frac{P_2}{P_H}$$

$$\text{波阻系数 } C_s = \frac{X_s}{q_H A_2} = C_p \frac{(A_2 - A_1)}{A_2}$$

$\phi, \sigma_D$  及  $C_s$  是扩压器的三大指标。为保证燃烧稳定, 扩压器

出口气流  $M_2$  有限定的数值。一般  $M_2=0.2\sim0.25$ 。燃烧加热后的总温  $T_4$  及尾喷管喉道  $A_4^*$  (图 1.1) 决定扩压器出口反压  $p_2$ 。故扩压器及尾喷管几何尺寸不能自动调节的冲压喷气机，只能在指定飞行  $M_H$  数及总温  $T_4$  时，恰当地选用  $\phi=0.9\sim1.0$ ,  $\sigma_d$  尽可能高和  $C_s$  尽可能小的数值；此时能保证纯净推力系数最大:  $C_n=C_{n\max}$ 。这叫额定点。

## II. 倒拉瓦尔管减速增压过程<sup>[16]</sup>

一) 收缩比及阻塞問題 图 2.1 中截面 1—5 代表超音速冲压喷气机; 1—2 表示倒拉瓦管扩压器; 2—3 表示喷油掺合段; 3—4 表示燃烧室; 4—5 表示尾喷管。假定这台喷气机正在等高度上按  $M_H$  飞行。外界大气压是  $p_H$ , 气温是  $T_H$ 。按相对运动論，也可以說喷气机静止不动， $p_H, T_H, M_H$  的超音速气流迎面冲进来。这股超音速气流若能等熵滞止到速度等于零， $M_H=0$ ，则气压自静压  $p_H$  升高到总压  $P_0$ ，气温自静温  $T_H$  升高到总温  $T_0$ 。故可以假想远前方有个无限大的储气罐连接一个拉瓦尔喷管，如图 2.1 中 0—H 虚线所示。 $P_0, T_0, M_0=0$  的空气自罐中经假想的拉瓦尔管等熵膨胀，喷出成  $P_H, T_H, M_H$  的超音速气流。 $A_0^*$  是假想拉瓦尔喷管的临界喉道截面。 $A_H$  是超音速流管截面。 $A_0^*$  与  $A_H$  截面之比叫理想收缩比  $r_i < 1.0$ 。假設喷气机作等高等速飞行， $p_H, M_H, P_0, T_0$  不变，则收缩比  $r_i$  不能变。假設喷气机等高度按較高的  $M > M_H$  飞行，则虽然  $p_H, T_H$  未变，但因  $P_0, T_0$  都较高，收缩比  $r_i$  必須对应提高的  $M$  而减小。若  $A_H$  不变， $A_0^*$  必須相应地縮小。因

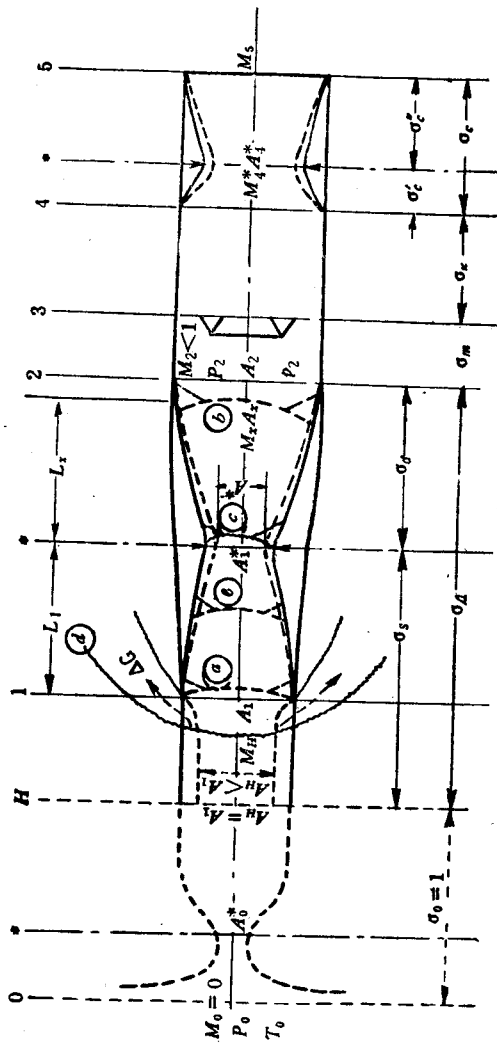


图 2.1 倒拉瓦尔管扩压器减速增压过程及正冲波位置图。

等熵膨胀，总压无损失，故  $0-H$  段的总压系数

$$\sigma_0 = 1, P_H = P_0.$$

拉瓦尔管倒过来可作扩压器用。若  $M_H$  数为迎面超音速气流冲进来能够等熵减速，没有任何总压损失，则管壁如图 2.1 中  $1-2$  段虚线所示。 $A_1$  是扩压器进口截面。 $A^*$  是理想喉道临界截面。 $A^*$  与  $A_1$  截面之比也是理想收縮比  $r_i < 1.0$ 。当迎面超音速气流  $M > M_B$  时，则  $r_i$  应减小。若  $A_1$  不能变，则  $A^*$  必须相应地缩小。显然，当  $A_B = A_1$  时， $A^* = A_0^*$ 。

拉瓦尔噴管或倒拉瓦尔管的理想收縮比  $r_i$ （又叫临界截面比）仅是噴出或冲入超音速气流  $M$  数的函数，自气体力学图表中可以查出<sup>[6]</sup>。用空气的比热比值  $k=1.4$ ，则

$$\text{理想收縮比 } r_i = \frac{A_0^*}{A_B} = \frac{A^*}{A_1} = q(M) = \frac{1.728M}{(1+0.2M^2)^{2.5}}; \quad (2.1)$$

$$\text{或 } r_i = q(\lambda) = 1.577\lambda \left[ 1 - \frac{\lambda^2}{6} \right]^{2.5}.$$

上式中速度系数  $\lambda = \frac{w}{a^*}$ ，临界音速  $a^* = 18.3\sqrt{T_0}$ 。

事实上，超音速气流冲进倒拉瓦尔管必然經過冲波才能减速成亚音流。为討論方便，可以认为管道中出現的是正冲波。設正冲波前馬赫数是  $M_a$ ，波前后总压是  $P_a$  及  $P_b$ 。因气流經過正冲波有熵增量，有总压损失，故  $P_b < P_a$ 。仍取  $k=1.4$ ，則

正冲波总压系数

$$\sigma_n = \frac{P_b}{P_a} = \left[ \frac{6M_a^2}{M_a^2 + 5} \right]^{3.5} \left[ \frac{6}{7M_a^2 - 1} \right]^{2.5} = f(M_a). \quad (2.2)$$

倒拉瓦尔管扩压器出口反压  $p_2$  决定正冲波在管道中的位置及管道截面。故正冲波位置决定波前馬赫数  $M_a$ 。 $M_a$

越高，则总压系数  $\sigma_n$  越低。下面假設除  $\sigma_n$  外无其它总压损失，按正冲波在四个位置分别說明倒拉瓦尔管中气流减速增压过程：

### 1) 正冲波貼在进口位置②(图 2.1)

此时进口处条件是  $M_a = M_1 = M_H$ ,  $P_a = P_H = P_1$ ,  $A_1 = A_n$ ,  $\phi = 1$ ,  $P_b = P_1^*$ 。

按續流方程，通过实际倒拉瓦尔管临界喉道  $A_1^*$  的气流量应等于进气量  $G_B$ , 即

$$P_n A_H q(M_H) = P_1 A_1 q(M_1) = P_1^* A_1^*.$$

$$\text{实际收縮比 } r_A = \frac{A_1^*}{A_1} = \frac{P_1 q(M_1)}{P_1^*} = \frac{q(M_H)}{\sigma_n}. \quad (2.3)$$

但  $q(M_H) = r_i = \frac{A_0^*}{A_H} = \frac{A^*}{A_1}$ , 故  $A_1^* \sigma_n = A^*$ , 因  $\sigma_n < 1$ , 于是  $A_1^* > A^*$ 。

这意思是說：既使无其它总压损失，只要出現貼口正冲波，那么实际临界喉道  $A_1^*$  必須大于理想临界喉道  $A^*$ , 才能通过进气量  $G_B$ 。在图 2.1 上，实际倒拉瓦尔管壁用实綫表示。若反压  $p_2$  足够低，正冲波貼在进口，实际临界喉道符合式(2.3)，则正冲波可以被吹入或吸入管道。这叫倒拉瓦尔管扩压器的起动状态。

### 2) 正冲波稳定在扩张段位置⑥(图 2.1)

贴口正冲波被吹入管道是不稳定的过渡过程。在这过渡过程中有瞬变流量  $\dot{\mu}$  暂时打破稳定續流状态。

設  $u = \frac{\Delta x}{\Delta t}$  —— 正冲波相对于管壁的推进速率；

$\rho_a w_a$  及  $\rho_b w_b$  —— 正冲波前后密流；

$\dot{m}_1 = \frac{G_B}{g} = \rho_1 w_1 A_1 = \rho_B w_H A_H$  —— 进气质量流率。

假設正冲波剛被吹进口內截面  $A$  处，波前后密度突跃升高  $\rho_a \rightarrow \rho_b$  (图 2.2)。經  $\Delta t$  秒后，正冲波向下游推进到截面  $A + \Delta A$  处，扫过距离  $\Delta x = u\Delta t$ 。設  $\Delta t, \Delta A, \Delta x$  都是微量，則正冲波前后密度的突跃仍可以认为是自  $\rho_a \rightarrow \rho_b$ 。

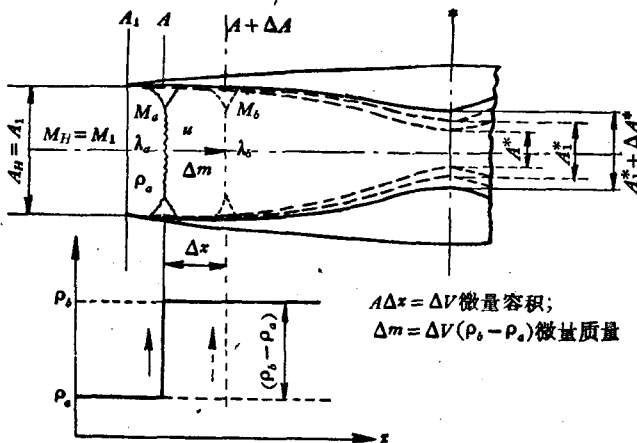


图 2.2 吹入正冲波过程瞬变流量。

当正冲波向下游推进时， $\Delta x$  段气流密度必須从本来是波后的  $\rho_b$  变成波前的  $\rho_a$ 。故在  $\Delta t$  期间自微量容积  $A\Delta x = \Delta V$  内必須排除质量  $\Delta m = \Delta V(\rho_b - \rho_a)$ 。在  $\Delta t$  期间必須排除的  $\Delta m$  叫瞬变流量  $\dot{\mu}$ ：

$$\dot{\mu} = \frac{\Delta m}{\Delta t} = \frac{A\Delta x(\rho_b - \rho_a)}{\Delta t} = uA(\rho_b - \rho_a)。 \quad (2.4)$$

这瞬变流量  $\dot{\mu}$  不能逆超音流向前排出，也不許积存，故必須通过实际喉道  $A_1^*$  向下游排出。但实际喉道  $A_1^* = \frac{A^*}{\sigma_n}$  仅能通过稳定缓流的进气质量流率  $\dot{m}_1$ ，所以必須瞬时间內再扩大实际喉道至  $A_1^* + \Delta A_1^*$  (图 2.2)，泄走額外的瞬变流量  $\dot{\mu}$ ，才能